

Fig. 1

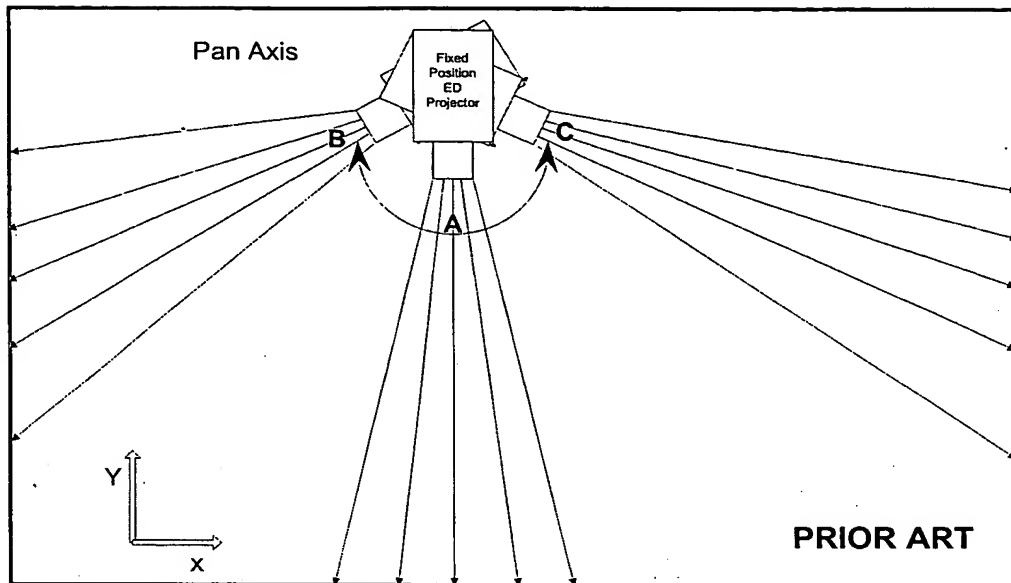
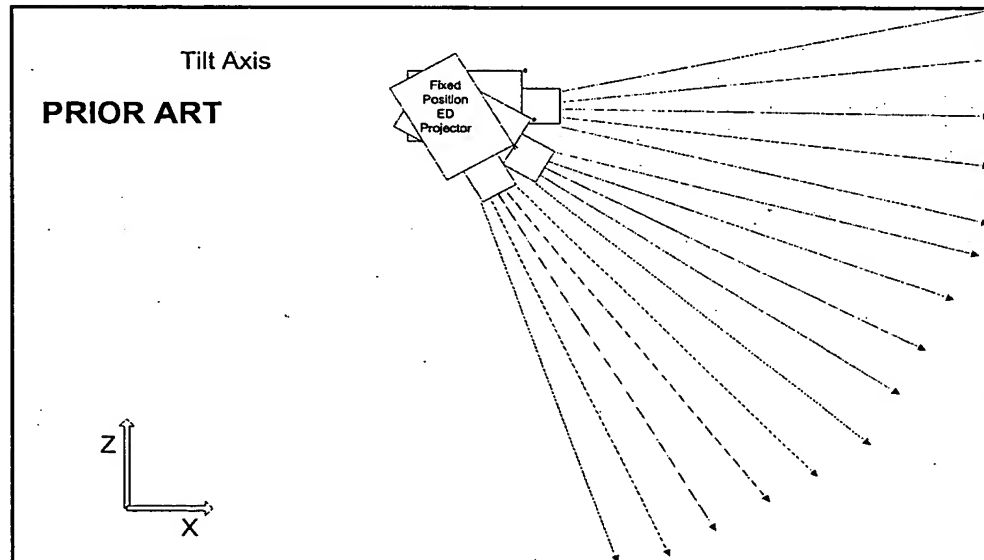


Fig. 2



2/8  
Levas, et al.  
YOR920030551US1

Fig. 3

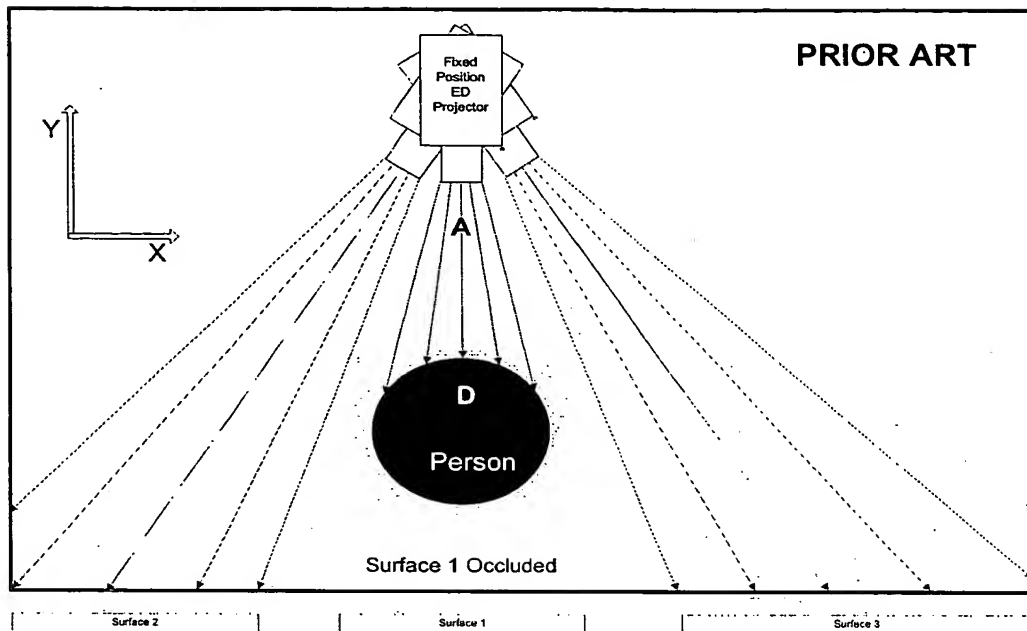


Fig. 5

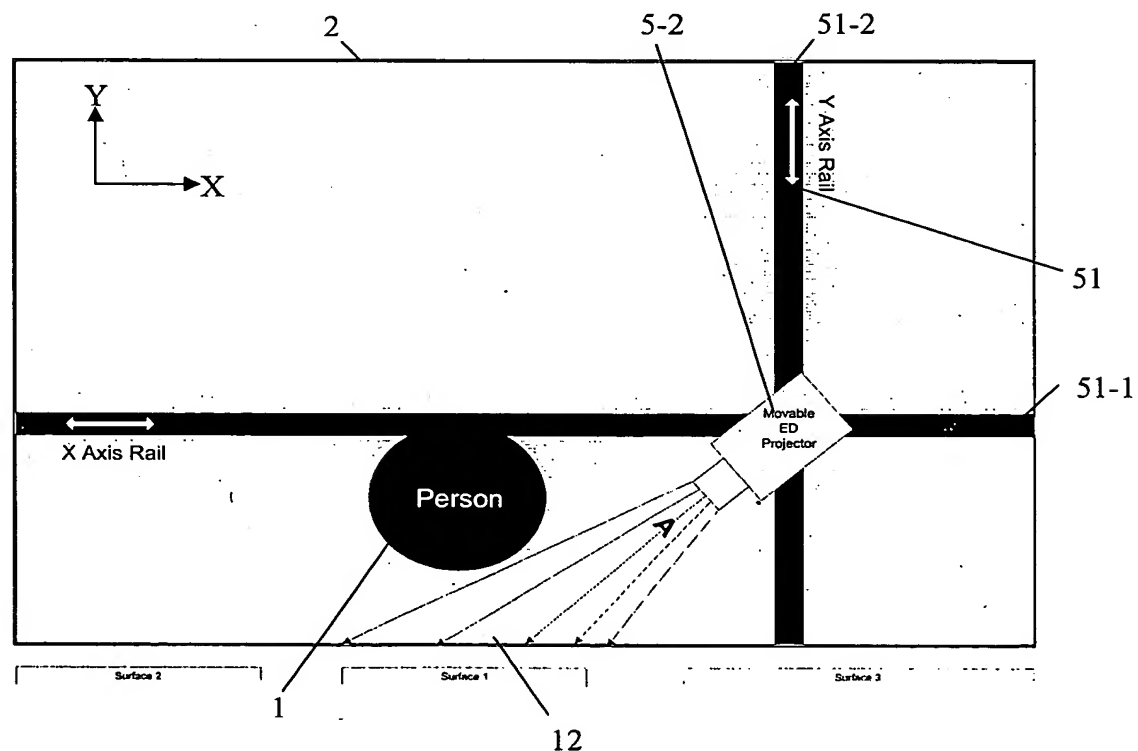
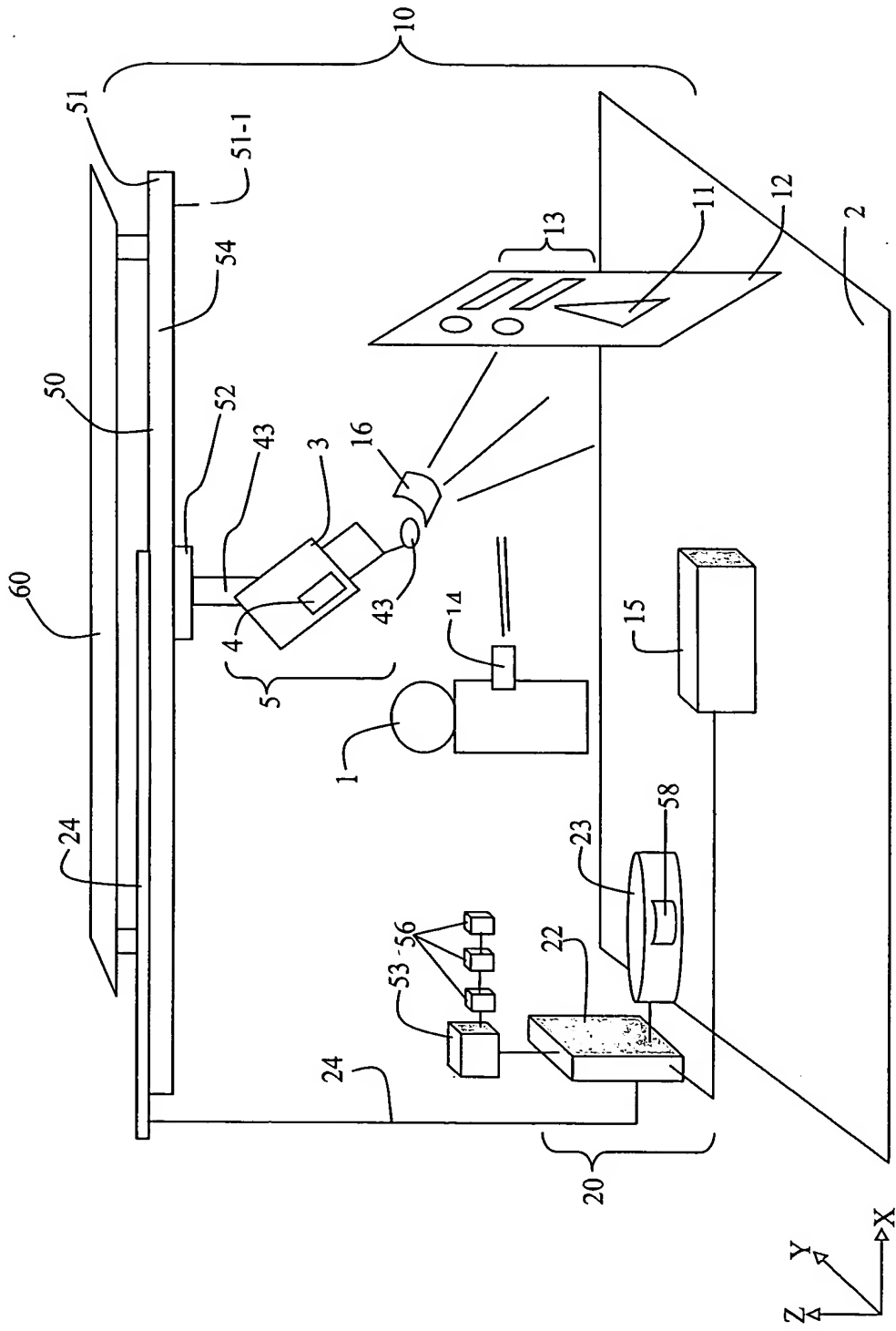


Fig. 4



4/8  
Levas, et al.  
YOR920030551US1

Fig. 6

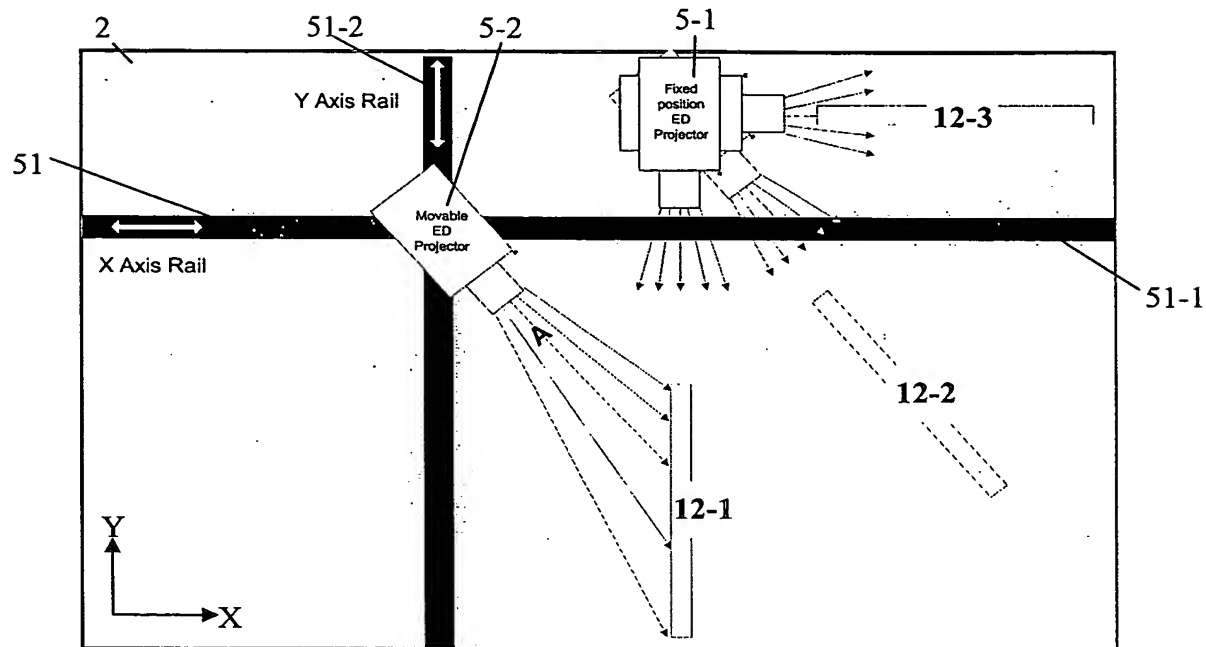
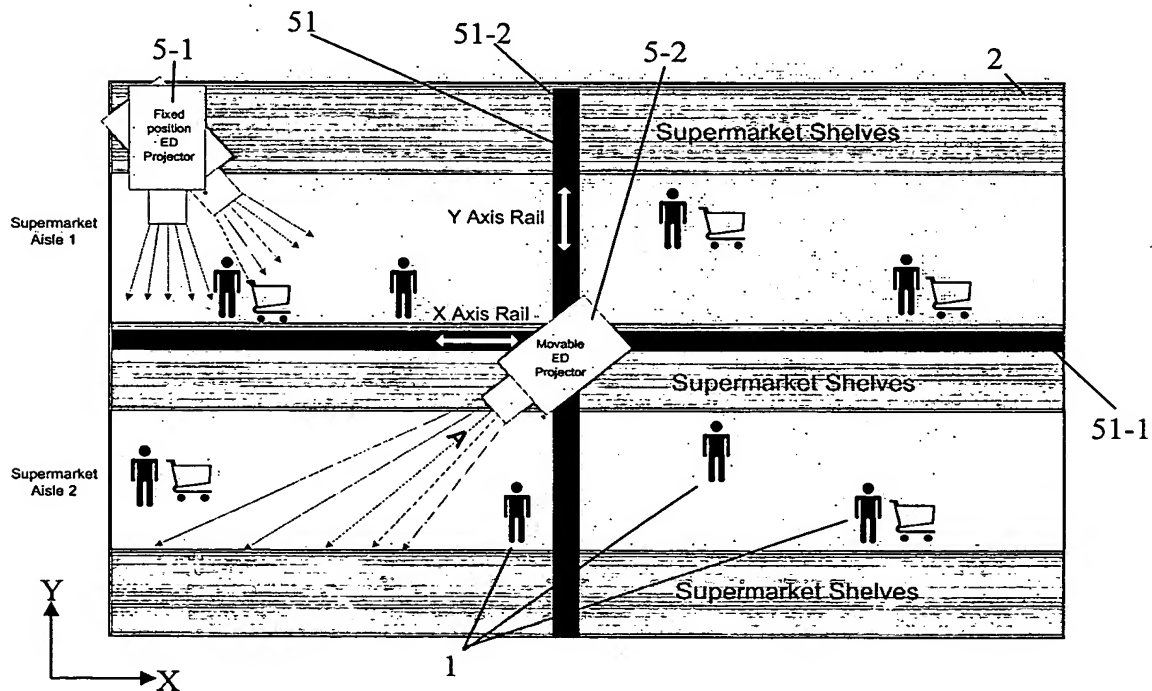


Fig. 7



5/8  
 Levas, et al.  
 YOR920030551US1

Fig. 8

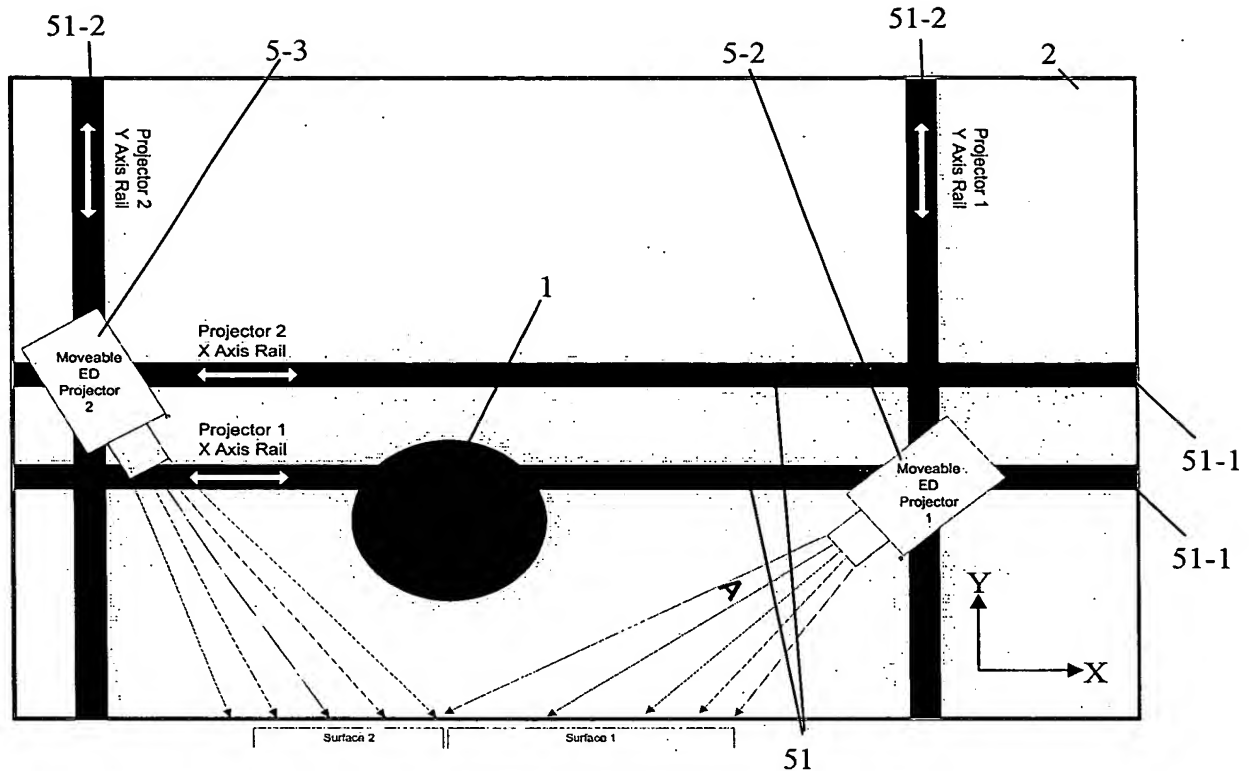


Fig. 9

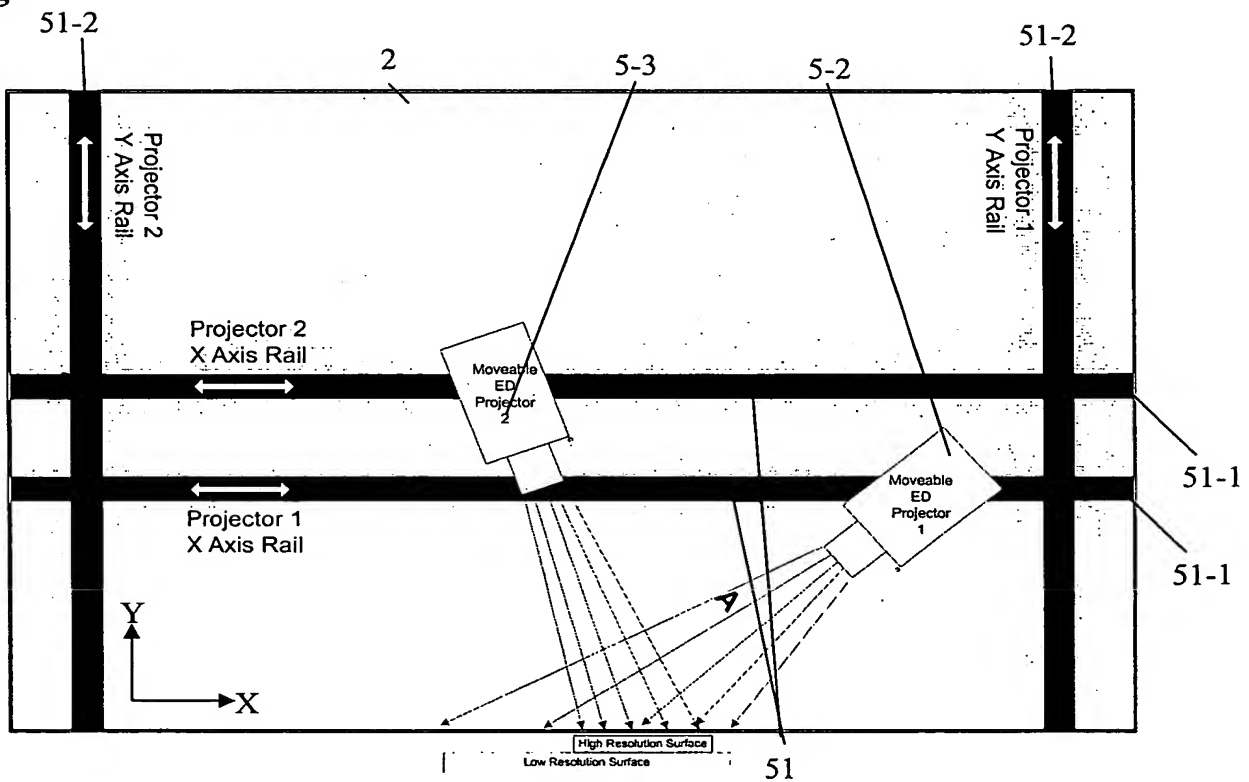


Fig. 10

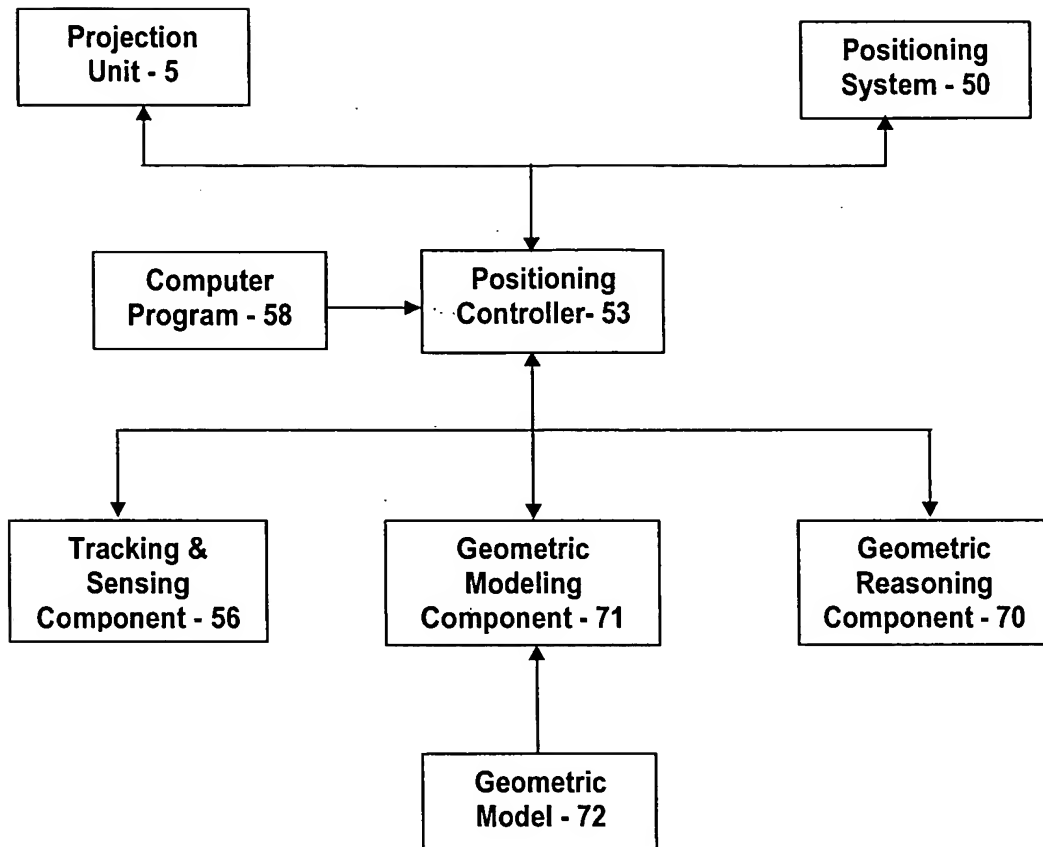


Fig. 11

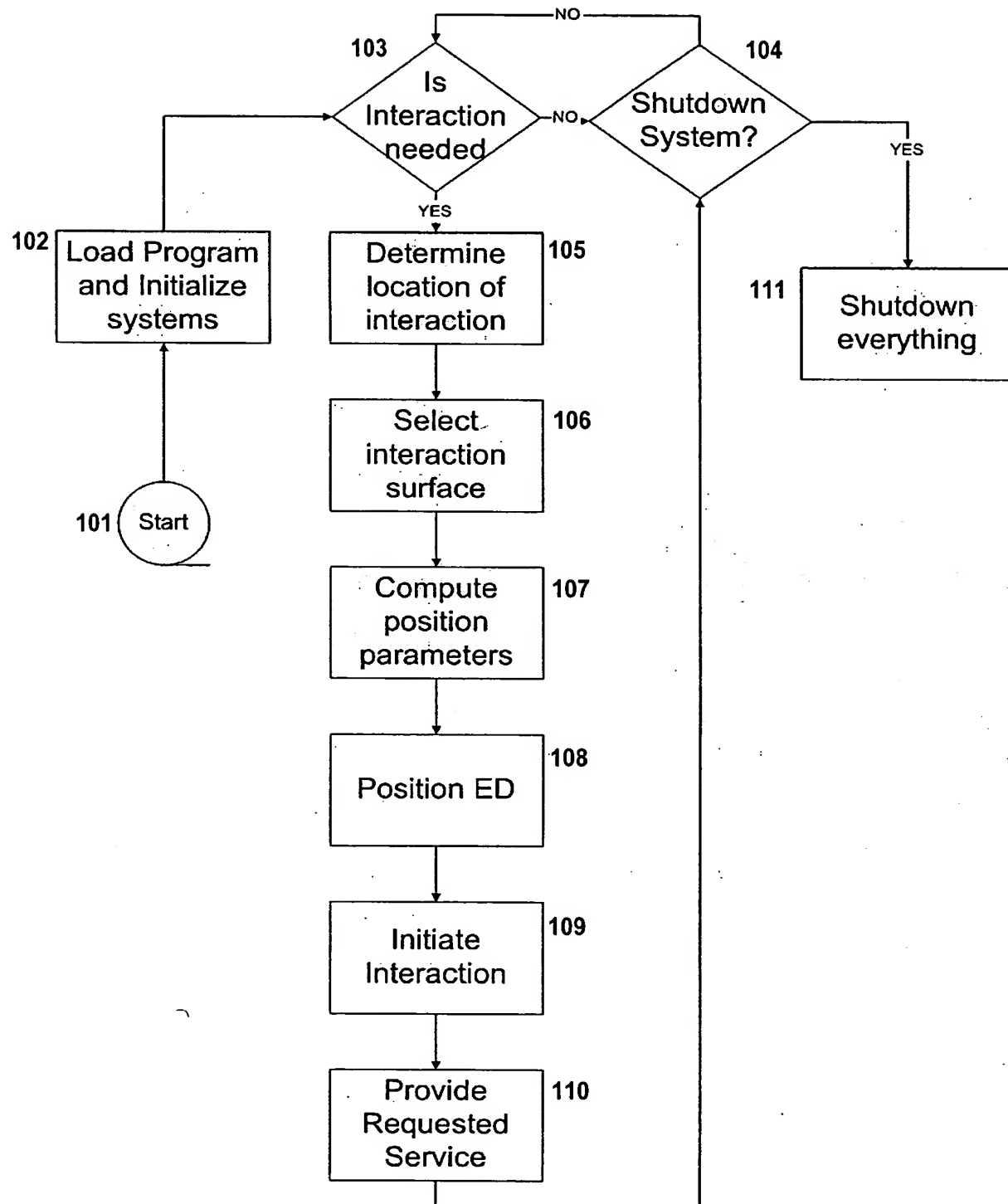


Fig. 12

